

## СТАТИСТИЧЕСКИЙ АНАЛИЗ ДИФФЕРЕНЦИАЛЬНЫХ СВЯЗЕЙ В КОЛЕБАТЕЛЬНЫХ СИСТЕМАХ

Бахрушин В.Е.

Классический приватный университет, г. Запорожье, Украина

Vladimir.Bakhrushin@zhu.edu.ua

*Проведено тестирование предложенного автором ранее статистического критерия проверки гипотезы о наличии дифференциальной связи на колебательных системах с такими связями. Рассматриваемый критерий основан на использовании коэффициента парной корреляции Пирсона для оценки связи между одной из исходных выборок и вспомогательным рядом, полученным численным интегрированием второй выборки. Подтверждена возможность его использования при исследовании различных типов колебательных систем.*

### Введение

В работе [1] нами был предложен статистический критерий для проверки гипотезы о наличии линейной дифференциальной связи вида:

$$f_1(x) = kf_2'(x), \quad (1)$$

между двумя выборками. Известно, что дифференциальные связи такого типа часто встречаются в различных физических и технических системах.

В частности, гармонические колебания описываются [2] уравнением:

$$\frac{d^2x}{dt^2} + \omega^2x = 0, \quad (2)$$

где  $x$  – смещение от положения равновесия, а  $\omega$  – частота колебаний.

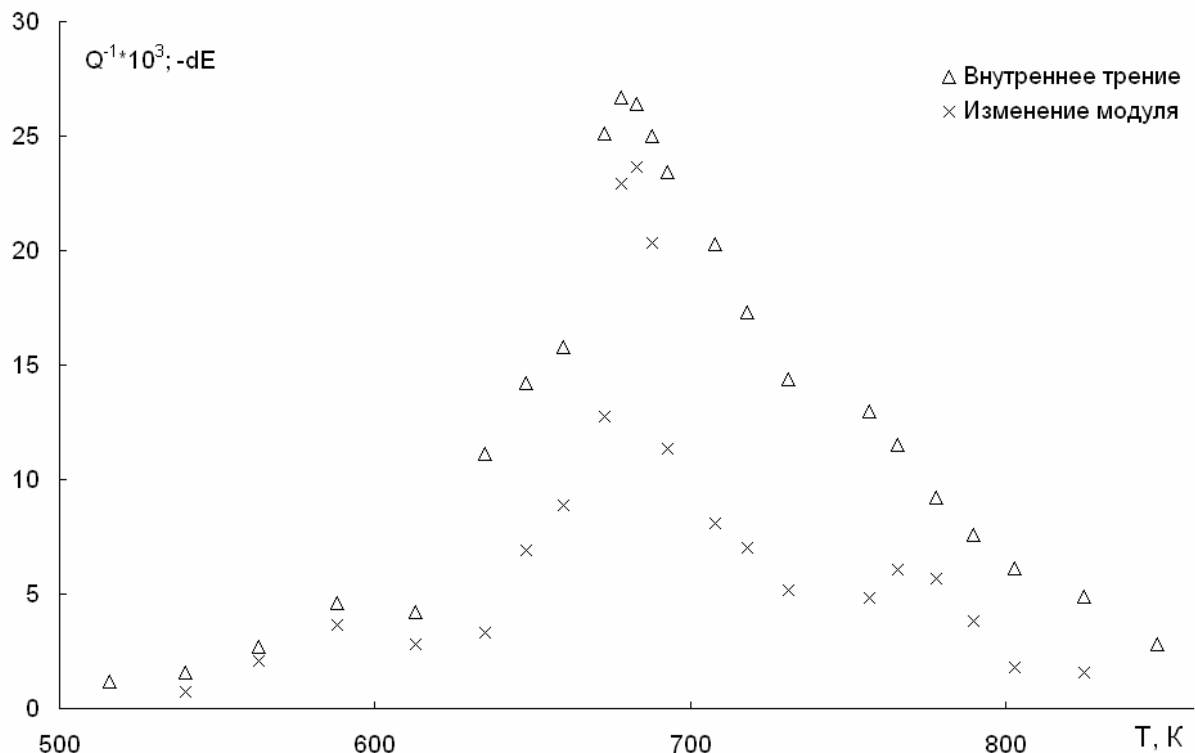
В случае электрического колебательного контура  $x = q$  – имеет смысл электрического заряда,  $I = \frac{dq}{dt}$  – сила тока, а  $U = \frac{dI}{dt}$  – разность потенциалов. Величины силы тока и разности потенциалов легко измеряются и при малых погрешностях измерений связаны между собой соотношением вида (1) с  $k \approx 1$  (небольшие отклонения обусловлены в этом случае погрешностями измерений).

Другим примером величин, между которыми может существовать линейная дифференциальная связь, является пара "внутреннее трение – динамический модуль упругости". Внутреннее трение, характеризует способность материала рассеивать энергию механических колебаний. Его температурная и частотная зависимости во многих случаях имеют вид некоторого пика. Соответствующие зависимости для динамического модуля упругости имеют вид S-образных кривых, точка перегиба которых близка к точке максимума внутреннего трения. В этом случае наличие связи не следует непосредственно из теоретических моделей. Однако в работе [3] на основе анализа результатов одновременных измерений температурных зависимостей динамического модуля нормальной упругости и внутреннего трения сплавов вольфрама на основе ниобия в области релаксации Снука было показано, что производная модуля и внутреннее трение изменяются с ростом температуры однотипно (с точностью до знака). Пример такой связи показан на рис. 1.

Различные типы дифференциальных связей встречаются во многих других природных системах и широко используются в различных областях техники [4 – 6]. Однако в реальных

системах наличие связи может маскироваться влиянием неконтролируемых факторов и погрешностями измерений. Поэтому актуальным является вопрос о разработке статистических методов проверки гипотез о существовании дифференциальных связей в реальных системах.

**Целью** данной работы являлась проверка предложенного в [1] статистического критерия наличия линейной дифференциальной связи при исследовании колебательных систем.



**Рис. 1.** Температурные зависимости внутреннего трения и производной динамического модуля нормальной упругости сплава Nb – 12 ат. % W – 0,3 ат. % N

### 1. Описание критерия

Идея метода проверки гипотезы о наличии линейной дифференциальной связи вида:

$$f_1(x) = kf_2'(x) + c \tag{3}$$

состоит в поиске преобразования, позволяющего заменить выборку  $f_1(x_i)$  новой выборкой  $y_{ii}$  такой, чтобы существовала линейная связь  $y_{ii} = a_1f_2(x_i) + b_1$ . Необходимое преобразование может быть получено с использованием численного интегрирования методом трапеций [7]. Тогда:

$$y_{i1} = f_2(x_1);$$

$$y_{ij} = y_{1j-1} + \left( f_1(x_{j-1}) + f_1(x_j) \right) (x_j - x_{j-1}) / 2; \quad j = 2, \dots, n, \tag{4}$$

где n – объемы выборок.

Расчетное значение критерия получаем по формуле для вычисления парного коэффициента корреляции Пирсона между выборками  $f_2(x_i)$  и  $y_{ii}$  [8]:

$$r = \frac{\sum_{i=1}^n (y_{li} - \bar{y}_1)(f_2(x_i) - \bar{f}_2)}{\sqrt{\sum_{i=1}^n (y_{li} - \bar{y}_1)^2} \sqrt{\sum_{i=1}^n (f_2(x_i) - \bar{f}_2)^2}}, \quad (5)$$

где  $\bar{y}_1, \bar{f}_2$  – соответствующие средние значения.

Расчетное значение критерия может изменяться в пределах от  $-1$  до  $+1$ . При этом его близость по модулю к единице свидетельствует о наличии сильной линейной дифференциальной связи, а близость к нулю – об отсутствии связи или ее существенной нелинейности.

## 2. Дифференциальная связь между характеристиками колебательных систем

Для проверки предложенного критерия были рассмотрены две тестовые задачи.

В первой задаче с помощью пакета Matlab Simulink была построена модель вынужденных колебаний с трением, при которых на вход подается синусоидальная внешняя сила (рис. 2). Эта модель соответствует дифференциальному уравнению:

$$\frac{d^2x}{dt^2} + \alpha \frac{dx}{dt} + \omega_1^2 x = f_0 \sin(\omega_2 t + \varphi). \quad (6)$$

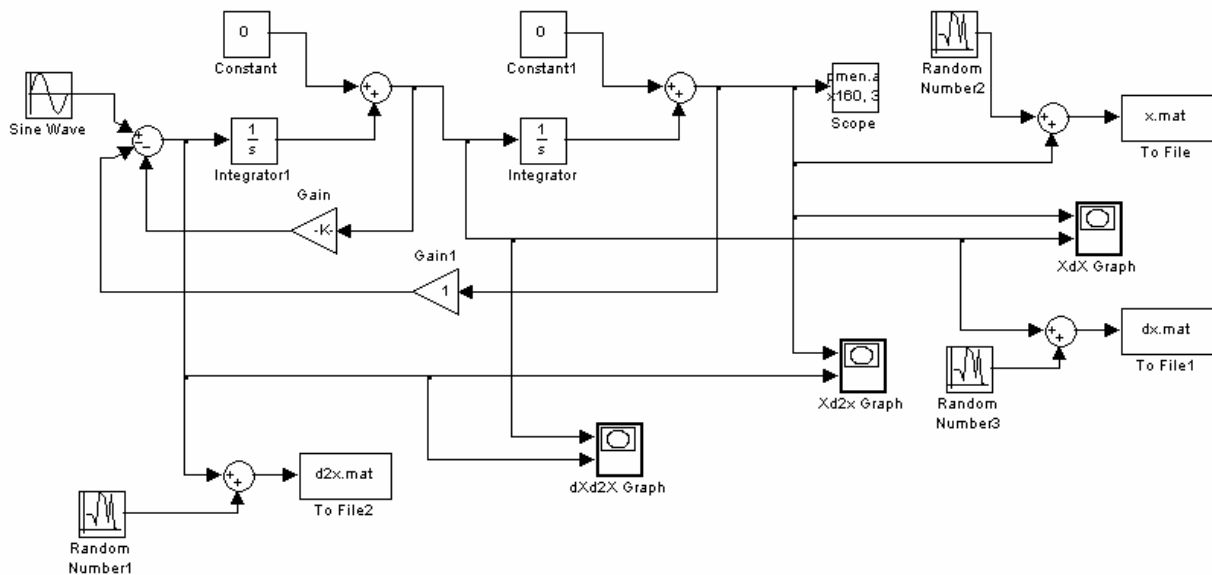
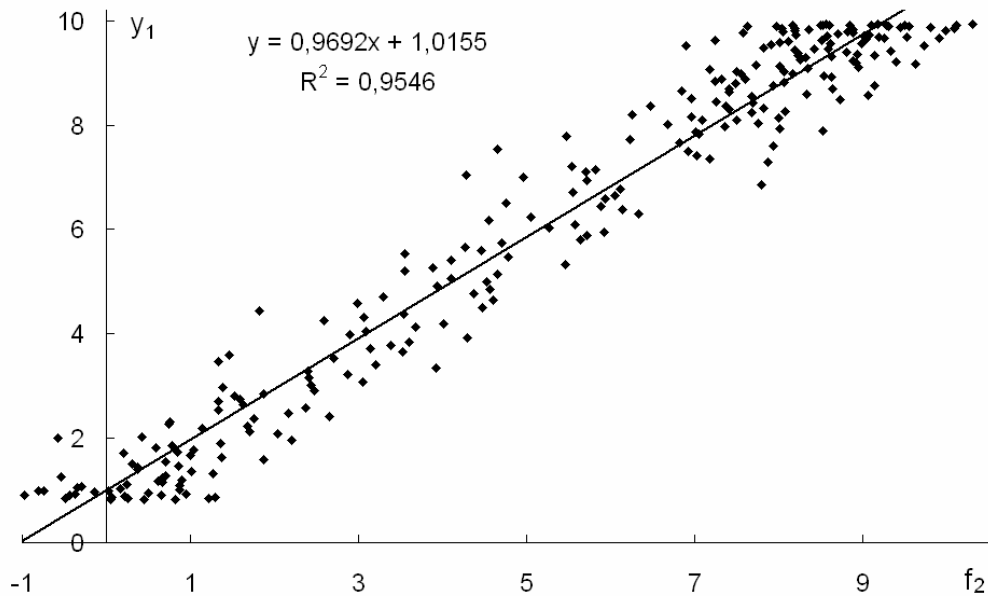


Рис. 2. Модель колебательной системы

На регистрирующие устройства дополнительно подаются случайные величины, имеющие нормальный закон распределения со средним значением 0 и стандартным отклонением 0,5.

На рис. 3 показана корреляция между значениями  $y_1(t_j) = \int_0^{t_j} f_1(t) dt$  и  $f_2(t_j)$ , где

$$f_1(t) = \frac{d^2x}{dt^2} + \varepsilon, \quad f_2(t) = \frac{dx}{dt} + \varepsilon, \quad \varepsilon - \text{случайная величина для случая, когда } \alpha = 0,01; \omega_1 = \omega_2 = 1; f_0 = 10; \varphi = 0.$$



**Рис. 3.** Корреляция между величинами  $y_1(t_j) = \int_0^{t_j} f_1(t) dt$  и  $f_2(t_j)$  для модели колебательной системы, представленной на рис. 2.

В качестве второй тестовой задачи были взяты реальные экспериментальные данные о температурных зависимостях внутреннего трения и динамических модулей нормальной упругости сплавов внедрения на основе ниобия. Измерения проводили методом изгибных колебаний вертикального консольно закрепленного образца.

На рис. 4 для трех образцов сплавов Nb – 12 ат.% W – N с различными концентрациями азота показана корреляция между величинами  $y_1(T_j) = \int_{T_0}^{T_j} f_1(T) dT$  и  $f_2(T_j)$ , где

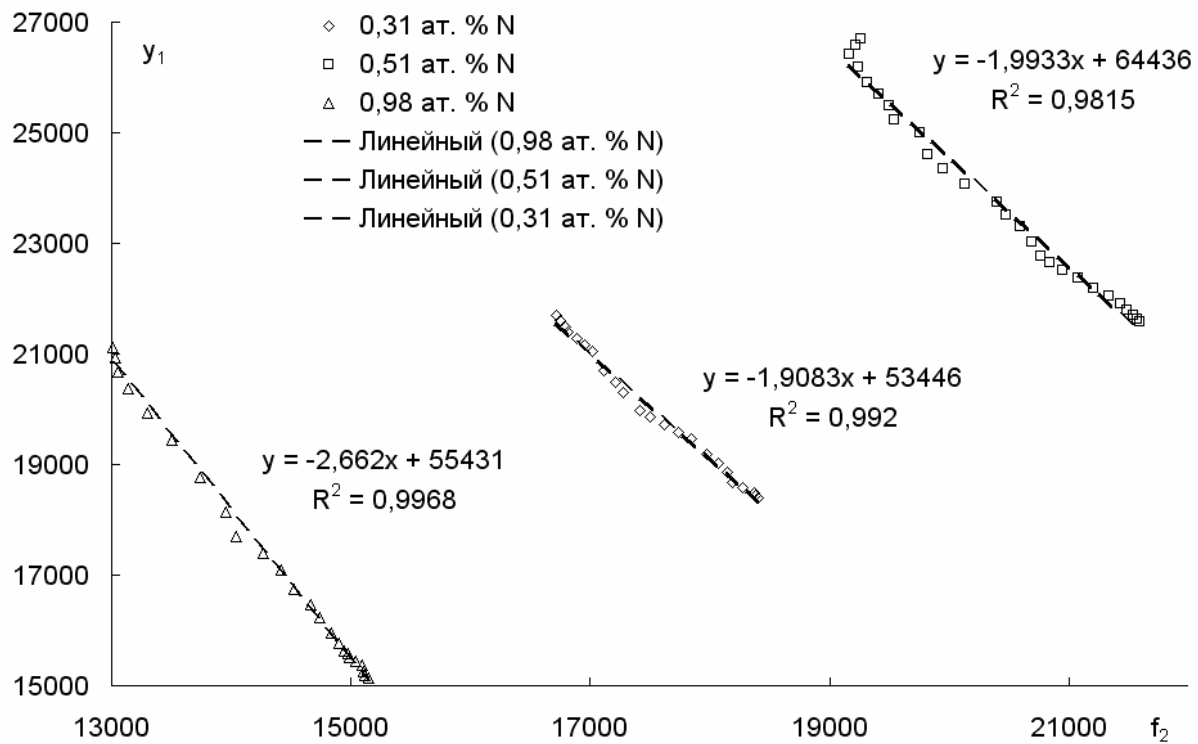
$f_1(T) = Q^{-1}(T)$  – внутреннее трение, а  $f_2(T) = E(T)$  – динамический модуль нормальной упругости,  $T_0$  – начальная температура. Видно, что во всех случаях рассматриваемый критерий показывает наличие сильной линейной дифференциальной связи между исследуемыми параметрами, что соответствует результатам качественного анализа, представленным на рис. 1.

### Выводы

Полученные результаты подтверждают возможность использования рассматриваемого статистического критерия наличия дифференциальной связи между выборками для изучения колебательных физических систем разного типа.

### Литература

1. Бахрушин В.С. Критерій для перевірки гіпотези про наявність зв'язку типу  $f_1(x) = kf_2(x)$  // Складні системи і процеси. – 2010. – № 1. С. 3 – 5.
2. Сивухин Д.В. Общий курс физики. Т. 3. Электричество. – М.: Наука, 1983. – 687 с.
3. Бахрушин В.С., Чиріков О.Ю. Моделі та механізми механічної релаксації, пов'язаної з перебудовою домішково-дефектної підсистеми кристалів. – Запоріжжя: ГУ "ЗІДМУ", 2004. – 140 с.
4. Михайлов В.С. Теория управления. – К.: Выща школа, 1988. – 312 с.



**Рис. 4. Корреляция между величинами  $y_1(t_j) = \int_0^{t_j} f_1(t) dt$  и  $f_2(t_j)$  характеризующими дифференциальную связь между внутренним трением и динамическим модулем нормальной упругости.**

5. Адрианов А.Л. Обобщенные дифференциальные соотношения на скачке уплотнения // Вопросы атомной науки и техники: Математическое моделирование физических процессов. – 2009. – Вып. 4. – С. 22 – 30.

6. Карцев В.Н., Панкин К.Е., Батов Д.В. О взаимосвязи внутреннего давления и плотности энергии когезии // Журнал структурной химии. – 2006. – Т. 47, № 2. – С. 283 – 290.

7. Бахвалов Н.С., Жидков Н.П., Кобельков Г.М. Численные методы. – М.: Лаборатория базовых знаний, 2003. – 632 с.

8. Бахрушин В.Є. Аналіз даних. – Запоріжжя, ГУ "ЗІДМУ", 2006. – 126 с.